

C<sub>4</sub>H<sub>4</sub>

CyH

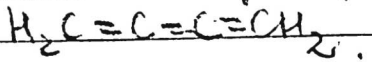
Grochepf B.P.

1957

Canad. J. Phys. 35, No. 8, 837-41.

Bromoformaluminescent particle  
emission and rays!

X. B. P. C. C. T. S. A. I. M. E.



PA 1957

5719 9091

при зара. 2-міль розмірнісні <sup>заряд</sup> брояер. 21ff.  
результат. Але амг енерга (на від. при  
заряд. бояер. бояер) приведе в сад. зара.

$\frac{1}{2}(B_0 + C_0) = 0,1314, \pm 0,0001 \text{ cm}^{-1}$ . ~~Задача~~  
outer C=C class b <sup>заряд</sup> зустріч <sup>заряд</sup> від  
the same <sup>заряд</sup> C=C class b <sup>заряд</sup> азоту, а також  
1,309  $\mu$ , <sup>заряд</sup> кетер. class C=C зустріч <sup>заряд</sup> від  
 $1,284 \pm 0,006$   $\mu$ , <sup>заряд</sup> before C=C b  
зустріч у азоті.

1961

СЧНЧ

струйные

4Б44. Электропографическое исследование молекулярной структуры бутатриена. Almenning A., Bastiansen O., Traettberg M. An electron diffraction investigation of the molecular structure of butatriene. «Acta chem. scand.», 1961, 15, № 7, 1557—1562 (англ.)

Секторным методом проведено электропографич. исследование структуры молекулы бутатриена в газовой фазе. Эксперим. кривая интенсивности получена в интервале  $s$  от 1,25 до  $63,5 \text{ \AA}^{-1}$ . Поправки на фон учтены при сравнении эксперим. кривой и теоретич. кривой интенсивности, рассчитанной по предварительно му радикальному распределению. Получены следующие значения параметров молекулы: C—H 1,083,  $C_{(1)} = C_{(2)} = 1,318$ ,  $C_{(2)} = C_{(3)} = 1,283 \text{ \AA}$ ,  $\angle C_{(1)}C_{(2)}C_{(3)} = 170^\circ$ . Наблюдаемые расстояния между несвязанными атомами С несколько короче, чем суммы длин отдельных связей, что объясняется влиянием деф. кол. скелета молекулы.

А. Соклаков

(-1963-Ч.)

1962

СИСТАМЫ

Зайцев Б. Э., Трибова З. Г.,

Садовуцкий Р. Х., Сиротин В. Н.  
Ткачевский В. М.

СИСТАМЫ

акт. пробл. специостроекомисс. Т. 1,  
м., Академия СССР, 1962, № 65.

Вращающиеся спутники  
космического назначе-  
ния.

д. 1963. № 314

1963

Л-10086

СЧИЧ

6 Д319. Вращательные спектры комбинационного рассеяния. II. Винилацетилен  $C_4H_4$ . Грибова З. П., Тюлин В. И., Татевский В. М. «Оптика и спектроскопия», 1963, 15, № 3, 320—324

На приборе ДФС-3 с линейной дисперсией  $4,6 \text{ см}^{-1}/\text{мм}$  получен вращательный спектр комб. рас. молекулы винилацетиlena  $C_4H_4$ . Анализ проведен в приближении слегка асимметричного волчка. Получены вращательные постоянные  $(B+C)$  и  $C$ , хорошо согласующиеся с литературными данными, и постоянные центробежного расстояния. Предполагая известными некоторые структурные параметры, авторы получили значения длины одинарной связи  $r_{C-C}=1,43 \text{ \AA}$  и угла  $\angle C=C-C=124,3^\circ$ . Ч. I см. РЖФиз, 1964, 4Д236.

оф. 1964. 67

СЧНЧ  
вращающейся  
степень

1963

- ✓ 20 Б174. Вращательные спектры комбинационного рассеяния. II. Винилацетилен  $C_4H_4$ . Грибова З. П., Тюлин В. И., Татевский В. М. «Оптика и спектроскопия», 1963, 15, № 3, 320—324

Получен вращательный спектр комб. расс. винилацетилена. Анализ ведется в приближении слегка асимметричного волчка. Получены вращательные постоянные  $(B+C)$  и  $C$ , хорошо согласующиеся с литературными данными, и постоянные центробежного растяжения. В предположении, что известны некоторые структурные параметры, получены значения длины ординарной связи  $C-C$  1,43 Å и угла  $C=C-C$  124,3°. Сообщение 1 см. РЖХим, 1964, 6Б81.

Резюме авторов

1963

Х. 1964. №

C<sub>4</sub>H<sub>4</sub>

$\gamma_{C-C}$ ,  $\angle C=C=C$

Грибова 8.4.,

1963

Мюнхен H. U., Магистерский 8.4.

Ми. и сп., XIV, № 3, 325 (1963)

Браузгельманс спектр химически  
измененного рассеяния.

II. Высокодисперсионный C<sub>4</sub>H<sub>4</sub>

но брауз. спектр изменился на новый  
рассеяния получены браузгельманс  
пол. в поло-  дисперсионные характеристики.  
распространения,  $\gamma_{C-C} = 1,43 \text{ A}^\circ$ ,  $\angle C=C=C=124,3^\circ$ .

C<sub>4</sub>H<sub>4</sub><sup>+</sup>

B90-4942-12 1963

Yenglein A, Yacobs G,  
Ruecker G.

(A.P.)

"Z. Naturforsch" 18a,  
98-99, 1963.

1963

С<sub>4</sub>Н<sub>4</sub>

спектр

V<sub>o</sub>

21 Б155. Микроволновый спектр, дипольный момент и барьер внутреннего вращения *цис*-бутена-2. S a g a c h - t a n T. N. The microwave spectrum, dipole moment, and barrier to internal rotation of *cis* 2-butene. Abstract. «Sympos. Molec. Struct. and Spectrosc. Columbus, 1963». Columbus, Ohio, s. a., 27 (англ.)

На спектрометре со штарковской модуляцией в области 20—40 кМгц исследован спектр *цис*-бутена-2, определены дипольный момент и структурные параметры. Р. Д.

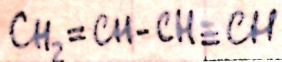
х. 1964. 21

1964

С<sub>4</sub> Н<sub>4</sub>

16 Б283. Колебательные спектры бутадиена-1,3-D<sub>6</sub>.  
Панченко Ю. Н., Пентин Ю. А., Тюлин В. И.  
Татевский В. М. «Оптика и спектроскопия», 1964,  
16, № 6, 992—997

Х-1965.6



4 Д120. Силовое поле и строение винилацетиlena.  
Попов Е. М., Яковлев И. П., Коган Г. А.  
Жогина В. В. «Теор. и эксперим. химия», 1967, 3,  
№ 4, 533—537

исп.

част.

Выполнен анализ частот норм. колебаний винилацетиlena, метилвинацетиlena, 2-метилвинацетиlena, транс- и цис-1-метилвинацетиленов. Найдены силовые постоянные для этих молекул. Силовые постоянные двойной ( $12,00$  в ед.  $10^6 \text{ см}^{-2}$ ) и тройной ( $22,25$ ) связей

09. 1968. 4

винилацетилена оказалось значительно меньше постоянных этилена (14,2) и ацетилена (24,45): силовая постоянная ординарной связи (11,00), напротив, значительно больше постоянной чистой  $\sigma$ -связи гибридного типа  $sp^2-sp$  (8,60). Оказались большими величины взаимодействий кратных связей и кратных с ординарной. На основе такого характера силового поля винилацетиленов сделан вывод о сильном взаимодействии кратных связей в основном состоянии молекул, которое вызвано  $\pi$ -электронной делокализацией в системе  $C=C-C\equiv C$ . Этот результат находится в качеств. согласии с литературными данными квантовохимич. расчетов. И. П. Я.

$(C_2H_2)_2$

Smith. W. L.

1967

Proc. Roy. Soc. Ser A 300(1963) 519-33

Cuugy noolueg. geaseguiee

B Cuugy ufeoir y. g.



1967

С4 Н4  
мол. пост.

12 Б534. Силовое поле, средние амплитуды колебаний, уменьшение длин связей, постоянные кориолисового взаимодействия и термодинамические свойства бутатриена. Venkateswari K., Rajalakshmi K. V., Natarajan A. Force field, mean amplitudes of vibration, shrinkage effect, coriolis coupling constants AND thermodynamic properties of butatriene. «Bull. Soc. Roy. sci. Liège», 1967, 36, № 5-6, 347—356 (англ.)

Критически пересмотрено отнесение частот молекулы бутатриена  $C_4H_4$  (симметрия  $D_{2h}$ ), данное в работе Миллера и Матцубара (РЖХим., 1967, 15Б198). На основании составленной таблицы частот нормальных колебаний и молекулярных параметров вычислены следующие св-ва бутатриена: 1) силовые постоянные валентиосилового поля (20 постоянных) и силовые постоянные видоизме-

X-1968-12

иенного поля Юри — Брэдли (11 постоянных); 2) среднеквадратичные амплитуды  $\langle(\Delta x)^2\rangle$ ,  $\langle(\Delta y)^2\rangle$ ,  $\langle(\Delta z)^2\rangle$  и  $\langle(\Delta z \Delta x)\rangle$  для 11 межатомных расстояний (использован метод Цивина); 3) укорочение длин  $C_1 \dots C_3$  и  $C_1 \dots C_4$  (Shrinkage effekt, использован метод Морнио и др. РЖХим. 1963, 15Б81); 4) постоянные кориолисового взаимодействия (использован метод Мила и Пого, см. РЖХим., 1957, № 3, 7197); 5) четыре обычных термодинамич. функции для идеального газового состояния при  $P=1$  atm в интервале  $T$ -р 100—1000° K (расчет произведен в предположении гармонич. колебаний и жесткого вращения). Частоты, вычисленные по силовым постоянным, хорошо согласуются с опытными значениями. Основные силовые постоянные и амплитуды сравниены с их значениями для аллена и этилена. И. Годнев

1969

 $C_4H_4^+$ ДР

4 Б130. Масс-спектрометрия. Потенциалы появления метастабильных пиков некоторых ароматических соединений. Химические реакции в масс-спектрометре. В. Е. Уппол J. H. Hopkinson J. A., Lester G. R. Mass spectrometry—the appearance potentials of «meta-stable peaks» in some aromatic nitro compounds—a chemical reaction in the mass spectrometer. «Internat. J. Mass Spectrom. and Ion Phys.», 1969, 2, № 4—5, 291—301 (англ.)

Определены потенциалы появления (ПП) ионов  $C_4H_4^+$ , образующихся из молек. ионов ( $M^+$ ) бензола (I) и пиридина (II) и ПП метастабильных ионов (МИ), отвечающих процессам  $C_6H_6^+ \rightarrow C_4H_4^+ + C_2H_2$  и  $C_5H_5N^+ \rightarrow C_4H_4^+ + HCN$ . Установлено, что ПП ионов  $C_4H_4^+$  больше ПП соотв-щих МИ. Исходя из потенциала появления

X. 1970

И



(+) (I)

☒

МИ рассчитаны теплоты образования ионов  $C_4H_4^+$ . Найдены ПП ионов  $M-NO$  и соответствующих метастабильных ионов, образующихся при распаде  $M^+$  нитробензола (III), *o*- (IV), *m*- (V) и *p*-нитрофенолов (VI) и  $\alpha$ -нитронафталина (VII). На основании анализа масс-спектров III — VII, полученных при совместном напуске в ионный источник III—VII и  $D_2O$ , установлено, что нитросоединения восстанавливаются в ионном источнике масс-спектрометра до соответствующих аминосоединений.

Ю. С. Н.

СуМЧ

1969

6 Б37. Теоретическое сравнение тетраэдрана и циклобутадиена посредством неэмпирических расчетов. В. Цепкег Robert J., Рейгеримhoff Sigrid D. Theoretical comparison of tetrahedrane and cyclobutadiene by Ab initio techniques. «J. Amer. Chem. Soc.», 1969, 91, № 16, 4342—4346 (англ.)

Проведен неэмпирический ССП—МО—КВ-расчет тетраэдрана  $C_4H_4$ , к-рый сопоставлен с аналогичным расчетом изомерной молекулы циклобутадиена (РЖХим, 1968, 18Б51). Базисный набор состоял из 120 гауссовых АО ( $s^{10} + p^{15}$  на каждом атоме С и  $s^5$  на каждом атоме Н). Расстояние  $R(CH)$  было принято равным 1,07 Å,  $R(CC)$  варьировалось от 1,39 до 1,59 Å. Минимум ССП энергии отвечает  $R=1,56$  Å и силовой постоянной  $K=4,6$  мдин/Å, что лежит в интервале обычных значений, характеристических для одинарной связи С—С. В однодетерминантном

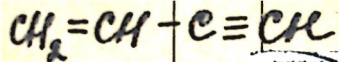
хб. — мех.  
расчет,  
расчет D.

X. 1970.

6

приближении полная ССП энергия тетраэдра на 35 ккал/моль больше, чем циклобутадиена (в его основном прямоугольном синглетном состоянии). Учет КВ увеличивает эту разницу до 70,3 ккал в согласии с ранее полученной полуэмпирической оценкой в 84,2 ккал. В то же время ССП энергия тетраэдра для его равновесного значения (СС) на 10 ккал меньше соответствующей энергии циклобутадиена в квадратной триплетной конфигурации. Из анализа КВ следует, что все низколежащие возбужденные состояния тетраэдра не имеют минимумов на потенциальной кривой, так что связанным является только основное состояние молекулы. Неустойчивость тетраэдра к диссоциации на две молекулы ацетилена оценена в 70—100 ккал. Детально обсуждены проблемы адекватности метода ССП для расчетов энергий диссоциации молекул.

Е. М. Шусторович



1969

7554h Structure of vinylacetylene determined by electron diffraction and spectroscopy. Fukuyama, Tsutomu; Kuchitsu, Kozo; Morino, Yonezo (Univ. Tokyo, Tokyo, Japan). *Bull. Chem. Soc. Jap.* 1969, 42(2), 379-82 (Eng). The av. structure of vinylacetylene has been detd. by making combined use of the electron-diffraction intensities obtained in the present study and the rotational consts. supplied by using microwave spectroscopy. The two sorts of data are consistent with the uncertainties given below. With the mol. symmetry assumed to be  $C_s$ , the following parameters have been obtained in regard to the zero-point av. structure:  $r(\text{C-C}) = 1.431_0 \pm 0.003_4$ ,  $r(\text{C:C}) = 1.341_6 \pm 0.004_1$ ,  $r(\text{C:C}) = 1.208_6 \pm 0.002_3$ ,  $r(\text{C-H})_{\text{vinyl}} = 1.087 \pm 0.010$ ,  $r(\text{C-H})_{\text{ethynyl}} = 1.062 \pm 0.018$  Å.,  $\angle(\text{C:C-C}) = 123.1 \pm 0.5^\circ$ ,  $\angle(\text{C-C:C}) = 177.9 \pm 1.2^\circ$ ,  $\angle(\text{H-C:C}) = 120.6 \pm 1.5^\circ$ ,  $\angle(\text{C:C-H}) = 182.3 \pm 3.8^\circ$ . There seems to be a significant difference between the C-C length of vinylacetylene and that of propynal. The result has been discussed in terms of the bond-order bond-length correlation.

RC<sub>2</sub>C

C.A. 1969. 41.2

$(CH_3)_3CH$

1969

Lofko M.S.,  
Beers L.

Sp. no cm.

J. Res. Nat. Bur. Stand.

143, N2, 233.



(cet. H<sub>2</sub>O) III

Cy My

Ramaswamy K.  
Srinivasan K.

1969

Ans. n.

J. Moke. Street,  
3 (6), 473.



(Ans. C<sub>3</sub>O<sub>2</sub>) III

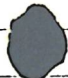
1969

C<sub>4</sub>H<sub>4</sub>

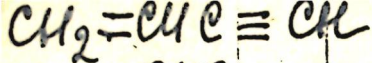
Мусоропоток E. M., угр.

кб.-лек.  
расчес

ЖК. спичкиндр.  
хсссссс, 1969, 10, NY,  
696

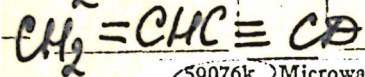


[Лист. C<sub>4</sub>] III



C. J. H. B.

1970



(59076k) Microwave spectra of vinylacetylene and mono-deuteriovinyiacetylene in ground and excited vibrational states. Hirose, Chiaki (Lab. Mol. Spectrosc., Tokyo Inst. Technol., Tokyo, Japan). *Bull. Chem. Soc. Jap.* 1970, 43(12), 3695-8 (Eng). The microwave spectra of  $\text{CH}_2:\text{CHC:CH}$  (I) and  $\text{CH}_2:\text{CHC:CD}$  (II) were obsd. in the ground state and several vibrational excited states. The vibration-rotation consts.  $\alpha_1^{(a)}$ ,  $\alpha_1^{(b)}$ ,  $\alpha_1^{(c)}$ ,  $\alpha_2^{(a)}$ ,  $\alpha_2^{(b)}$ , and  $\alpha_2^{(c)}$  were obtained as 1370, -18.32, -7.73, -907, -2.78, and -8.97 MHz for I, and 2010, -16.66, -7.05, -1.640, -2.18, and -7.84 MHz for II, resp., the error limits being  $\pm 50$  MHz for  $\alpha^{(a)}$ 's and  $\pm 0.03$  MHz for  $\alpha^{(b)}$ 's and  $\alpha^{(c)}$ 's. Elec. dipole moments obtained are 0.223 and 0.206 D for I and II, resp., which are quite different from the values reported previously.

RCQC

C. J. 1971. 7. 12

С4Н4

Шупоровов Е.И., 1971  
Казах Т.И.

раствор;

8;

"Пеории отекают.  
"оболочки археов и  
микрофл". Биология,  
"Минимум", 1941, 249.

•  $(\text{C}_6\text{H}_4)^{\text{III}}$

C<sub>4</sub>H<sub>4</sub> ?

\* 5-6 328

C<sub>4</sub>H<sub>4</sub>.  
сил. ион.  
(2e-e)

ф. 1975  
N 1

V 1 Д151. Теоретическое исследование молекулы тетраэдрана. Schulman Jegome M., Venanzi Thomas J. A theoreticaly study of the tetrahedrane molecule. «J. Amer. Chem. Soc.», 1974, 96, № 15, 4739—4746 (англ.)

Методом ССП МО ЛКАО в расширенном базисе сгруппированных гауссовских ф-ций 4-31Г и в миним. базисе слэтеровских ф-ций, каждая из которых аппроксимируется тремя гауссовскими ф-циями ОСТ-3Г, вычислены теплота образования, энергия напряжения, потенциалы ионизации валентных электронов и константы ядерного спин-спинового взаимодействия тетраэдрана. Показано, что тетраэдрану соответствует локальный минимум на потенц. поверхности системы C<sub>4</sub>H<sub>4</sub>. Вычислены норм. координаты, силовые постоянные частоты и относит. интенсивности норм. колебаний. Вычисленные равновесные длины связей СС оказались близки к эксперим. длинам связей в бициклогутане, а длины связей CH близки к эксперим. значениям в ацетилене. Энергия гомолитич. разрыва одной из связей СС найдена равной 18 ккал/моль (вычислено с учетом взаимодействия с низшей двукратновозбужденной конфигурацией).

В. А. Корсунов

1974

+1

441

$C_4H_4^+$

1975

Dunbar R.C.

prematurely. "Interact. between  
ions and mol."

New-York-London, 1975

549-93

( $CCl \cdot H_2^+; \text{III}$ )

$(C_2H_2)_2$

[Omnidata 8796]

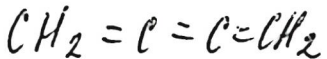
1979

Aoyama T., et al.

(Ref. aux.  
paeter)

Chem. Phys. Lett., 1979  
67 (2,3), 508-510

1980



З Б250. Инфракрасный спектр высокого разрешения полосы  $\nu_{11}$  аллена- $d_4$ . Hegelund F., Anttila R., Кауринен J. The high-resolutin infrared spectrum of the  $\nu_{11}$  band of allene- $d_4$ . «J. Mol. Spectrosc.», 1980, 81, № 1, 164—178 (англ.)

И. К. Смирнов

1.

На фурье-спектрометре в области частот  $\sim 300 \text{ см}^{-1}$  с разрешением  $0,010 \text{ см}^{-1}$  измерен ИК-спектр полосы  $\nu_{11}$  аллена- $d_4$ . Из анализа 496 комбинац разностей частот, полученных для ряда отнесенных переходов перпендикулярной полосы, определены молек. постоянные в основном колебательном состоянии:  $B_0 = 0,232187$  (30),  $D_0^I = 6,3(1,0) \cdot 10^{-8}$ ,  $D_0^{IK} = 3,0(4) \cdot 10^{-6} \text{ см}^{-1}$ . Значения величин  $B_0$  и  $D_0^I$  хорошо согласуются с результатами пред. измерений для  $\nu_3 + \nu_6$  полосы. Величина  $D_0^{IK}$  из-

Х. 1981/н3

мерена впервые и ее значение согласуется с результатами расчетов для модели гармонич. силового поля ( $D_0^{IK} = 3,07 \cdot 10^{-6} \text{ см}^{-1}$ ). Анализ верхнего колебательного состояния полосы выполнен с учетом эффектов  $l$ -удвоения и кориолисова взаимодействия. Молек. постоянные, вычисленные на основе 1440 отнесенных переходов, равны:  $v_{11}^0 = 304,4156(14)$ ,  $\Delta A_{11} = -0,005013(23)$ ,  $\Delta D_{11}^{IK} = \Delta B_{11} = 0,0005025(21)$ ,  $\Delta D_{11}^I = 2,4(7) \cdot 10^{-9}$ ,  $\Delta D_{11}^{IK} = 6,2(1,1) \cdot 10^{-8}$ ,  $\Delta D_{11}^K = -2,441(8) \cdot 10^{-5} \text{ см}^{-1}$ . Для эффектов  $q^{(-)}$  и  $q^{(+)}$ -удвоения определены величины постоянных  $q_{11}^{(-)} = -0,000160(3) \text{ см}^{-1}$  и  $q_{11}^{(+)} = 0,000144(4) \text{ см}^{-1}$ .

С. Н. Мурзин

C<sub>4</sub>H<sub>4</sub>

1980

Geeg C.

Theor. chim. acta, 1980,  
57, N2, 107-30

recommed  
ed. changes  
(3)



cat. H<sub>2</sub> III

1981

С4Н4<sup>2+</sup>

3 Б95. Карбодикатионы. I. Структура и энергии изомеров  $C_4H_4^{2+}$ . Chandrasekhar Jayaraman, Schleyer Paul von Ragué, Krogh-Jespersen Karsten. Carbocations. I. The structures and energies of  $C_4H_4^{2+}$  isomers. «J. Comput. Chem.», 1981, 2, № 3, 356—360 (англ.)

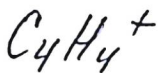
Структура,  
Энергии

Методом ССП МО в базисе 4-31ГФ и с градиентной оптимизацией геометрии выполнены неэмпирические расчеты структуры и относительной стабильности шести изомеров дикатиона  $C_4H_4^{2+}$ . Оптимизированные конфигурации уточнялись с помощью ССП расчетов с базисом 6-31Г+ +поляризаци. АО (6-311\*) и по теории возмущений Меллера — Плессета второго порядка с базисом 4-31ГФ (МП2/4-31ГФ). Найдено, что абсолютный минимум на поверхности потенциальной энергии отвечает структуре неплоского дикатиона циклобутатриена ( $D_{2d}$ ), плоская квадратная структура ( $D_{4h}$ ) лежит на 5—8 ккал/моль выше, изомер, отвечающий структуре неплоского метиленциклопропена ( $C_{2v}$ ), лежит на 6—9 ккал/моль выше, а линейная неплоская в виде дикатион бутатриена еще на 8—10 ккал/моль выше. В двух последних случаях барьеры вращения группы  $CH_2$  составляют 8—13 и 19—

Х.1982, 19, №3.

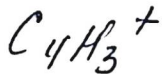
29 ккал/моль, соотв. Сделан вывод, что дикатион циклобутатриена оказывается неплоским благодаря смешиванию МО, к-рое невозможно при более высокой  $D_{4h}$ -симметрии и к-рое оказывает стабилизирующие воздействие. У дикатиона метиленциклопропена перпендикулярная форма более стабильна благодаря сверхсопряжению  $\pi$ -электронов трехчленного кольца с пустой  $p$ -АО метилена. Также благодаря сверхсопряжению более стабилен перпендикулярный изомер дикатиона бутатриена, в то время как у нейтр. бутатриена и метиленциклопропена более стабильны плоские изомеры. Оценка теплоты образования основного изомера  $C_4H_4^{2+}$  дает ~623 ккал и поэтому  $C_4H_4^{2+}$  стабилен относительно распада на монокатионы.

В. Г. Закжевский



[Lommel 11377]

1981.



Dannacher  $\ddot{z}$ ; et al.



removed.  
enroute

Int. J. Mass Spectrom.

and Ion Phys., 1981,

38, 69-78

C<sub>4</sub>H<sub>4</sub>

(Lennick 12252) 1981.

Kb. Mex.  
paeser,  
Cerr. noem.

Fleming B.D., et al.

Z. Naturforsch., 1981  
A 36, 759-762.

$C_4H_4$

Омск 12335 1981

3 Б121. Основные состояния молекул. 58. Потенциальная поверхность  $C_4H_4$ . Kollmar Herbert, Carrion Francisco, Dewar Michael J. S., Bingham Richard C. Ground states of molecules. 58. The  $C_4H_4$  potential surface. «J. Amer. Chem. Soc.», 1981, 103, № 18, 5292—5303 (англ.)

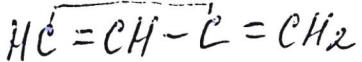
Полуэмпирическим методом ССП МО ЛКАО в валентном приближении МЧПДЛ/З проведены расчеты структур, соотв-щих локальным минимумам (ЛМ) и переходным состояниям (ПС) на потенциальной энергетич. гиперповерхности  $C_4H_4$ . Расчеты проводились в рамках ограниченного и неограниченного методов Хартри—Фока. Последние использовались для идентификации бирадикальных областей на потенциальной гиперповерхности, теплоты образования бирадикальных ПС и ЛМ рассчитывались методом «половинок электронов» с учетом конфигурац. взаимодействия. Структурные па-

потенциалы.  
поверхн.

X. 1982, 19, N3.

раметры ЛМ и ПС уточнялись в рамках процедуры:  
Мак—Ивера и Коморницкого. Результаты расчетов ис-  
пользованы для обсуждения механизма характерных  
р-ций  $C_4H_4$ . И. Абрееви

МИЭ  
4. 1



1981

20 Б52. Эффект внезапной поляризации: расчеты методом МК ССП планарного и повернутого на  $90^\circ$  метиленциклогепена. Johnson Richard P., Schmidt Michael W. The sudden polarization effect: MC—SCF calculations on planar and  $90^\circ$  twisted methylenecyclopropene. «J. Amer. Chem. Soc.», 1981, 103, № 12, 3244—3249 (англ.)

Выполнены неэмпирич. расчеты в базисе C (8s4p/  
13s2p), H (4s/2s) ряда низколежащих состояний 2 кон-

формаций метиленциклогепена  $\text{HC}=\text{CH}-\text{C}=\text{CH}_2$  (I)  
симметрии  $C_{2v}$ : а) планарной и б) с повернутой на  $90^\circ$   
экзоциклич. метиленовой группой. Расчеты проводились  
многоконфигурац. (МК) методом ССП с отдельной  
оптимизацией всех состояний, получаемых при разме-  
щении 4 наиболее слабо связанных электронов на че-  
тырех  $\pi$ -МО. Все  $\sigma$ -МО оставались дважды заполнен-  
ными. Число конфигураций в волновых функциях мето-  
да МК ССП не превышало 12. Проведено также  
некоторое количество расчетов методами ССП и КВ —

КБ. исх.  
расчет,  
конфигурац  
ii, м

X.20.1981

конфигурац. взаимодействия (с МК ССП-орбиталями основного состояния). Использованы геометрич. параметры Ia и Ib, полученные в результате частичной оптимизации полуэмпирич. методом МПДП. Для Ia найден след. порядок состояний (в скобках — относит. энергии в ЭВ): I  $^1A_1$  (0,0),  $^3B_2$  (3,32),  $^1B_2$  (4,71),  $^3A_1$  (4,87),  $2^1A_1$  (9,36), для Ib —  $^3A_2$  ( $^3D_1$ ) (-0,06),  $^1A_2$  ( $^1D_1$ ) (0,0),  $^3B_1$  ( $^3D_2$ ) (0,53), I  $^1A_1$  ( $^1Z_1$ ) (0,59),  $^1B_1$  ( $^1D_2$ ) (0,65),  $2^1A_1$  ( $^1Z_2$ ) (>7,0). Символами D и Z обозначены состояния Ib, соотв., дирадикального и цвиттерионного типа. Вычислены дипольные моменты ( $\mu$ ) и маллигеновские заселенности атомов. Основное состояние (Ia, I  $^1A_1$ ) обладает значительной для углеводорода полярностью ( $\mu=1,33\text{ D}$ );  $^1Z$  — состояния Ib сильно полярны ( $\mu>5\text{ D}$ ). Вычисленный барьер вращения  $=\text{CH}_2$ -группы I равен 72,4 ккал/моль. Одноконфигурац. метод ССП дает 57,3 ккал/моль, но ближе всего к истине, вероятно, полуэмпирич. результат (31,7 ккал/моль). Проведено тщательное сопоставление результатов, получаемых методами ССП, КВ и МК ССП.

В. Я. Беспалов

$(\text{C}_2\text{H}_2)_2$

1981

95: 17S149e Microwave spectroscopy of the  $\nu_5-\nu_6$  band of diacetylene. Matsumura, Keiji; Etoh, Tohru; Tanaka, Takehiko (Fac. Sci., Kyushu Univ., Fukuoka, Japan 812). *J. Mol. Spectrosc.* 1981, 90(1), 106-15 (Eng). Vibration-rotation transitions of diacetylene between the 1st excited states of the  $\nu_5$  and  $\nu_3$  vibrations were obsd. with a Stark modulation microwave spectrometer. The rotational, centrifugal distortion and  $l$ -type doubling consts. of the 2 vibrational states were detd.. The  $\nu_5-\nu_6$  band origin was 71,868.336(57) MHz. The transition dipole moment of the  $\nu_5-\nu_6$  band was precisely detd. from a measurement of the Stark effect as 0.0787(10) D, which indicates that the change in dipole moment induced by a deformation of the C:C-H angle is appreciably larger in diacetylene than it is in acetylene.

C.A. 1981, 95, n20

СЧМу

[Омск 18557]

1982

барбера

бронзеный

DEg,

DEu

Грибуст А.С., Чаркес О.Н.,  
иц. Недорог. издательство,  
1982, 27, №3 565-570.

1983

С4Н4

14 Б46. Соответствует ли синглетный циклобутин относительному минимуму на гиперповерхности потенциальной энергии  $C_4H_4$ ? Singlet cyclobutene: a relative minimum on the  $C_4H_4$  potential energy hypersurface? Fitzgerald George, Saxe Paul, Schaefer III Ненгу F. «J. Amer. Chem. Soc.», 1983, 105, № 4, 690—695 (англ.)

расчет  $\nu_i$ ,  
 $\xi_i$ , геометр.,  
струхб.,  $\Delta E$

Выполнены неэмпирические расчеты низших синглетного ( $^1A_1$ ) и триплетного ( $^3B_2$ ) состояний циклобутина  $C_4H_4$  (I). Использованы 3 типа двухэкспонентных гауссовых базисов — неполяризованный;  $d$ -поляризованный и  $dp$ -поляризованный. Оптимизация геометрии проведена для синглета в первых двух базисах, а для триплета — во всех трех, при этом найдено, что добавление  $p$ -АО на атомах Н почти не влияет на результат. Волн. ф-ции триплета рассчитывали одноконфигурац., а синглета — двухконфигурац. методом ССП. Вычислены колебат. частоты обоих состояний. Для равновесных геометрий проведен расчет методом конфигурац. взаимодействия с учетом одно- и двукратно возбужденных

X. 1983, 19, N 14.

конфигураций. Найденные равновесные геометрии синглетного и триплетного I имеют симметрию  $C_{2v}$ . Кратная связь в  $^1\text{I}$  имеет длину 1,26 Å и м. б. охарактеризована как слабая тройная, тогда как в  $^3\text{I}$  ее длина (1,323 Å) близка к длине нормальной двойной связи. Все рассчитанные колебат. частоты  $^{1,3}\text{I}$  вещественны, так что обе частицы отвечают локальным минимумам на потенциальной Пв  $\text{C}_3\text{H}_4$ . Частоты вал. кол. кратной связи в синглетном и триплетном I найдены равными, соотв. 1911 и 1779  $\text{см}^{-1}$ . Основное состояние I, согласно расчету, синглетное, триплет лежит выше на  $\approx 13$  ккал/моль. Наиболее стабильный изомер  $\text{C}_4\text{H}_4$  — винилцетилен  $\text{H}_2\text{C}=\text{CH}-\text{C}\equiv\text{CH}$  — лежит на 78 ккал/моль ниже  $^1\text{I}$ . Как синглетный, так и триплетный I сильно полярны (дипольный момент равен 2,37 и 1,86 Д соотв., причем отриц. конец диполя направлен в сторону кратной связи.

В. Я. Беспалов



ЛЧМ

1983

19 Б219. Инфракрасная спектроскопия димеров и резонанс Ферми. IR dimer spectroscopy and Fermi resonance. Geeraeds J., Stolte S., Reuss J. «Chem. Phys. Lett.», 1983, 97, № 2, 152—154 (англ.)

Проанализированы лит. данные по сдвигам на 5—10 см<sup>-1</sup> в НЧ- и ВЧ-область частот нек-рых фундаментальных и составных колебаний молекул C<sub>4</sub>H<sub>4</sub>, C<sub>2</sub>H<sub>4</sub>, SF<sub>6</sub>, BCl<sub>3</sub>, OCS, N<sub>2</sub>O и CO<sub>2</sub>, наблюдавшихся в молек. пучках за счет образования димеров этих молекул друг с другом или с молекулами инертных газов-носителей. Показано, что отмеченные сдвиги частот могут быть объяснены эффектами резонанса Ферми с близко лежащими по частоте колебаниями этих молекул, резонансное взаимодействие к-рых проявляется в димерах за счет искажения симметрии и снятия имеющихся в мономерах ограничений для этого взаимодействия.

А. Н. Курский,

(46)

18

и. 1983, 19, N 19

$(C_2H_2)_2$

1984

19 Б1305. Исследование электронной структуры аниона диацетилена по спектрам пропускания электронов и спектрам возбуждения колебаний в газовой фазе.  
Electronic structure of the 1,3-butadiyne anion studied by electron transmission and vibrational excitation spectra in the gas phase. Allan Michael. «Chem. Phys.», 1984, 86, № 3, 303—309 (англ.)

Изучены спектры пропускания и спектры энергетич. потерь электронов (в области 0—10 эВ) для газ аниона диацетилена (I). В спектре пропускания проявляются две полосы при  $\sim 1,0$  и 5,6 эВ. Первая из них приписана основному состоянию  $^2\Pi_u$  I (анион линеен). В этом состоянии происходит возбуждение вал. кол.  $C \equiv C$  и деформац. колебаний  $v_{6,8}$  связей C—H (с четными значениями квантовых чисел). Вторая полоса связана с состоянием  $^2\Pi_g$ , взаимодействующим с состоянием  $\sigma^*$ . В нем происходит возбуждение главным образом вал. кол.  $v_1$  связей C—H. Полоса при 1,5—2,0 эВ соответствует состоянию с возбужденным вал. кол.  $v_3$  связи C—C. Проведено сравнение электронной

спекр, Vi

X. 1984, 19, N 19

структуры I с электронной структурой ацетилена.

А. В. Бобров

ного  
ни.

$(\text{C}_2\text{H}_2)_2$

1984

100: 182456s High-resolution Fourier studies of diacetylene in the regions of the  $\nu_4$  and  $\nu_5$  fundamentals. Guelachvili, G.; Craig, A. M.; Ramsay, D. A. (Lab. Infrarouge, Univ. Paris-Sud, 91405 Orsay, Fr.). *J. Mol. Spectrosc.* 1984, 105(1), 15b-92 (Eng). High-resoln. absorption spectra of diacetylene at 1850-2523 and 2860-3584  $\text{cm}^{-1}$  were recorded with a Fourier transform spectrometer. Rotational analyses are given for the  $\nu_4$  and  $\nu_5$  fundamentals and assoccd. hot bands. Analyses are also reported for 11 combination bands. Vibrational consts. are summarized for all the fundamentals, and rotational consts. are given for all the low-lying bending vibrations. Intensity data are given for the  $\nu_4$  band, which is stronger than the  $\nu_5$  band by a factor of  $45 \pm 5$ .

GREEN  
FECOKOHO  
PAPERWORK

C.A.1984, 100, N22

$(\text{C}_2\text{H}_2)_2$

1984

23 Б1295. Исследования диацетилена в областях основных полос  $\nu_4$  и  $\nu_5$  с помощью фурье-спектрометра высокого разрешения. High-resolution fourier studies of diacetylene in the regions of the  $\nu_4$  and  $\nu_5$  fundamentals.

Guelachvili G., Craig A. M., Ramsay D. A.  
«J. Mol. Spectrosc.», 1984, 105, № 1, 156—192 (англ.)

Спектр поглощения диацетилена записан на фурье-спектрометре в областях полос основных ИК-активных колебаний  $\nu_4$  (C—H валентное), 1850—2523 см<sup>-1</sup>, и  $\nu_5$  (C≡C валентное), 2860—3584 см<sup>-1</sup>, с разрешением 0,0054 см<sup>-1</sup>. Абс. частоты линий измерены с точностью 0,001 см<sup>-1</sup>. Анализ вращательной структуры основных полос  $\nu_4$  и  $\nu_5$  и соотв. горячих полос проведен по известной ф-ле для вращательной энергии линейной молекулы с учетом квартичных центробежных поправок. Определены центры полос  $\nu_4$  (3333,6647 см<sup>-1</sup>)

д.н., д.

X. 1984, 19, № 23

и  $\nu_5$  ( $2022,2415 \text{ см}^{-1}$ ) и горячих полос, вращательная  $B_v$  и центробежная  $D_v$ , постоянные для низколежащих колебательных состояний. Вращательная  $B_0$  и центробежная  $D_0$ -постоянные основного колебательного состояния определены с более высокой точностью, чем ранее,  $B_0 = 0,1464109(11) \text{ см}^{-1}$ ,  $D_0 = 1,565(10) \cdot 10^{-8} \text{ см}^{-1}$ . Наблюdenы 11 слабых комбинац. полос, для к-рых определены центры и вращательные постоянные верхних колебательных состояний. Из анализа данных по измеренным интенсивностям соотв. линий в полосах  $\nu_4$  и  $\nu_5$  найдено, что интегральная интенсивность полосы  $\nu_4$  в  $45 \pm 5$  раз больше интенсивности полосы  $\nu_5$  и равна  $0,002 \text{ см}^{-2}$  Торр.

В. М. Михайлов

$(\text{CH}_2)_2$

1984

I Л162. ИК-спектроскопия димеров ацетилена с субдоплеровским разрешением. Прямое измерение времени предиссоциации. Sub-Doppler resolution infrared spectroscopy of the acetylene dimer. A direct measurement of the predissociation lifetime. Miller R. E., Vohralik P. F.; Watts R. O. «J. Chem. Phys.», 1984, 80, № 11, 5453—5457 (англ.)

Исследован спектр поглощения димеров ацетилена вблизи  $3300 \text{ см}^{-1}$ . В качестве источника излучения использован одномодовый лазер на  $F$ -центрах ( $P=5 \text{ мВт}$ ,  $\Delta\nu < 1 \text{ МГц}$ ). Высокое спектральное разрешение (лучше  $10^{-4} \text{ см}^{-1}$ ) обеспечивалось применением техники молекулярных пучков. Обнаружено несколько хорошо разрешенных полос поглощения, связанных, по мнению авторов, с существованием нескольких стабильных форм димеров. Показано, что колебательно-вращательные переходы в полосах уширены вследствие предиссоциации димеров, причем величина уширения существенно различна для разных переходов. Измеренные времена жизни предиссоционных состояний изменялись от 1,6 до 80 нс. Библ: 18.

спектр

оф. 1985, 18, № 1

М. Ю. Н.

$(\text{C}_2\text{H}_2)_2$

1984

2 Б1192. Инфракрасная спектроскопия с субдопплеровским разрешением димера ацетилена. Прямое измерение времени предиссоциации. Sub-Doppler resolution infrared spectroscopy of the acetylene dimer: A direct measurement of the predissociation lifetime. Miller R. E., Vohralik P. F., Watts R. O. «J. Chem. Phys.», 1984, 80, № 11, 5153—5157 (англ.)

ИК-спектр предиссоциации димера ацетилена,  $(\text{C}_2\text{H}_2)_2$ , в области  $3300 \text{ см}^{-1}$  исследован в молек. пучке с возбуждением лазером на  $F$ -центрах. В спектре, записанном с низким разрешением ( $\sim 0,5 \text{ см}^{-1}$ ) при многократном пересечении молек. пучка излучением лазера, работающего без внутрирезонаторного эталона, наблюдены в области  $3260—3300 \text{ см}^{-1}$  шесть полос с неразрешенной вращательной структурой. Наличие в спектре хорошо разделенных полос возможно связано, по мнению авторов, с существованием более, чем одной, стабильной структуры димера. Для измерения ширин линий отдельные участки в полосах записаны с

спектр, vi,  
м-р, пресс-  
связиаций

X. 1985, 19 № 2.

субдоплеровским разрешением ( $0,001 \text{ см}^{-1}$ ) при однократном прохождении излучения лазера с внутрирезонаторным эталоном поперек пучка. Одно из возможных отнесений наблюденных полос состоит в том, что эти полосы связаны с  $\nu_3$  и  $\nu_2 + \nu_4^1 + \nu_5^1$  колебаниями мономера, возмущенными слабой ван-дер-ваальсовой связью мономеров. Отмечено, что для однозначного отнесения полос необходимы измерения с субдоплеровским разрешением всей исследуемой области спектра. Измерены ширины линий отдельных колебательных вращательных переходов, величины к-рых сильно различаются для каждой полосы. Из данных по ширинам линий оценены времена предиссоциации, к-рые изменяются от  $8 \cdot 10^{-9}$  до  $1,6 \cdot 10^{-9}$  с.

В. М. Михайлов

$(C_2H_2)_2$

1984

101: 30447x Sub-Doppler resolution infrared spectroscopy of the acetylene dimer: a direct measurement of the predissociation lifetime. Miller, R. E.; Vohralik, P. F.; Watts, R. O. (Res. Sch. Phys. Sci., Australian Natl. Univ., Canberra, Australia). *J. Chem. Phys.* 1984, 80(11), 5453-7 (Eng). Rotationally resolved, IR predissocn. spectra were obtained for  $(C_2H_2)_2$  by using a mol. beam app. in conjunction with a single mode *F*-center laser operating near  $3300\text{ cm}^{-1}$ . Several well sepd. bands are seen in the low resoln. spectra, possibly indicating that more than 1 stable dimer structure exists. The high resoln. spectra indicate that the widths of the individual rovibrational transitions, and hence predissocn. lifetimes, depend on the band excited. The lifetimes obtained from the widths vary from  $80 \times 10^{-9}$  to  $1.6 \times 10^{-9}\text{ s}$ .

UK cream,  
appuccino au lait

C.A. 1984, 101, N 4

$(C_2H_2)_2$

1984

$(\nu_i)$

101: 200538x Diode laser spectrum of diacetylene near 5  $\mu$ m.  
Pasternack, Louise; McDonald, J. R. (Chem. Div., Nav. Res. Lab.,  
Washington, DC 20375 USA). *J. Mol. Spectrosc.* 1984, 108(1),  
143-52 (Eng). The  $\nu_5$  rotation-vibration fundamental band and the  
 $\nu_5 + \nu_9$  band of diacetylene at 2000-2037  $cm^{-1}$  were measured to an  
accuracy of better than  $\pm 0.004$   $cm^{-1}$  using a tunable-diode laser  
spectrometer. The *l*-type doubling in the  $(\nu_5 + \nu_9) - \nu_9$  band was  
resolved. Line positions, assignments, band origins, and rotational  
consts.  $B_s'$ ,  $B_s''$ ,  $D_s'$ , and  $D_s''$  are reported.

C.A. 1984, 101, N 22

$(\text{C}_2\text{H}_2)_2$

(OM-26166)

1986

Jamison C.J., Fowler P.W.,

ab initio  
pacem

J. Chem. Phys., 1986,  
85, N6, 3432-3436.

$(C_2H_2)_2$

1986

106: 1Q759a Absolute rotational assignment of the origin band of the  $A^2\Pi_u \leftrightarrow X^2\Pi_g$  transition of the diacetylene cation. Kuhn, R.; Maier, J. P.; Ochsner, M. (Inst. Phys. Chem., Univ. Basel, CH-4056 Basel, Switz.). *Mol. Phys.* 1986, 59(3), 441-8 (Eng). The rotational anal. of the origin bands of the  $A^2\Pi_u - X^2\Pi_g$  transition of diacetylene and dideuterodiacetylene cations is considered. Although an anal. for diacetylene cation was made by J. H. Callomon (1956), some ambiguity remained concerning the abs. numbering and hence led to uncertainty in the derived consts. This situation was resolved by recording the emission spectra of this transition of the 2 isotopic cationic species rotationally cooled to  $\approx 10$  K in a supersonic free jet, as well as their rotationally resolved laser excitation spectra. By comparison of the Q-branch locations in the emission spectra, which only become discernible at such low temps., with those predicted using the 2 possible sets of consts., the rotational numbering is established. Consequently, the correct spectroscopic consts. of diacetylene and dideuterodiacetylene cations in their  $X^2\Pi_g$  and  $A^2\Pi_u$  electronic states are presented.



C. A. 1987, 106, N 2

(C<sub>2</sub>H<sub>2</sub>)<sub>2</sub>

1986

105: 69314j Stark modulation infrared diode laser spectroscopy of the  $\nu_6 + \nu_8$  band of diacetylene. Matsumura, Keiji; Kawaguchi, Kentarou; Hirota, Eizi; Tanaka, Takehiko (Seinan Gakuin Univ., Fukuoka, Japan 814). *J. Mol. Spectrosc.* 1986, 118(2), 53-5 (Eng). The IR diode laser spectrum of the  $\nu_6 + \nu_8$  band of diacetylene, (i.e., a combination band of sym.  $\pi_g$  ( $\nu_6$ ) and antisym.  $\pi_u$  ( $\nu_8$ ) C:C-H bending vibrations, was recorded by the Stark and sound modulation techniques. The anal. of the Stark modulation spectrum allowed locating the  $2\nu_6$  ( $\Sigma_g^+$ ) and  $2\nu_8$  ( $\Sigma_g^+$ ) vibrational states, which are inaccessible by IR transitions from the ground state. The Stark modulation spectrum can be used to confirm the rotational assignment of the  $\nu_6 + \nu_8$  band.

(lk cremp)

c.a. 1986, 105, N8

(HCCM)<sub>2</sub>

1986

Spackman Mark A.

meophem.  
paerem  
bozopogm.  
cossar,  
Cest. roci,  
Vi;

J. Chem. Phys. 1986,  
85 (11), 6587 - 601.

(Cest. (HF)<sub>2</sub>; ii)

$(C_2H_2)_2$  1987

Deacyne Carol A.,  
Meot-Ner M., et al..

Ap, J. Chem. Phys. 1987,

$\Delta_f H$ ; 86(6), 2334-42.

(cet.  $HCCCN$ ;  $\text{II}$ )

$C_4H_4^+$

1987

№ 24 Б1147. Строение циклических  $C_4H_4^+$  катион-радикалов. Structures of cyclic  $C_4H_4$  radical cations. Ray James, Danis Paul O., McLafferty Fred W., Carpenter Barry K. «J. Amer. Chem. Soc.», 1987, 109, № 14, 4408—4409 (англ.)

Для доказательства существования катион-радикалов  $C_4H_4^+$  в виде ионов циклобутадиеновой структуры применены метод активации столкновением и дейтеромечение. В кач-ве объектов исследования выбраны формальные аддукты циклоприсоединения по р-ции Дильса—Альдера циклобутадиена и метиленциклопропена к бензолу и пр-ным нафталина. Сделан вывод о низкой скорости процесса изомеризации ионов  $C_4H_4^+$  циклобутадиеновой и метиленциклопропеновой структуры, и следовательно, о возможности их раздельного существования.

Н. С. Куликов

М.Л.

Х. 1987, 19, № 24

C<sub>4</sub>H<sub>4</sub> (Om. 27153) 1987

Ray J.C., Y.; Danis P.O.,  
Cmyrcka McLaugherty F.W. et. al;

J. Amer. Chem. Soc.,  
1987, ● 109, N<sub>14</sub>, 4408-  
4409

$(C_2H_2)_2$

011-29665

1988

109: 43695s Stationary points on the potential energy surfaces of the acetylene dimer, acetylene trimer, and ethylene dimer ( $(C_2H_2)_2$ ,  $(C_2H_2)_3$ , and  $(C_2H_4)_2$ ). Alberts, Ian L.; Rowlands, Timothy W.; Handy, Nicholas C. (Univ. Chem. Lab., Cambridge, UK CB2 1EW). *J. Chem. Phys.* 1988, 88(6), 3811-16 (Eng). Min. on the potential energy surfaces of  $(C_2H_2)_2$ ,  $(C_2H_2)_3$ , and  $(C_2H_4)_2$  are located by ab initio methods, using the Moller-Plesset second-order (MP2) procedure, with a DZP basis set. For  $(C_2H_2)_2$ , a T-shaped structure is predicted and for  $(C_2H_2)_3$ , a  $C_{3h}$  structure. For  $(C_2H_4)_2$  there are two candidates, a T-shaped structure and a staggered-parallel structure, and  $(C_2H_4)_2$  there are two candidates, a T-shaped structure and a staggered-parallel structure, and it is difficult to distinguish between them. Other stationary points are located on the surfaces, but they are all transition states, by the method of analytic second derivs. Existing exptl. data is insufficient to decide unequivocally as to the derivs. Existing exptl. data is insufficient to decide unequivocally as to the geometry of the min. These calcns. appear to resolve these questions and there is no contradiction with the data.

(72)

X



$(C_2H_2)_3$ ,  $(C_2H_4)_2$

C.A. 1988, 109, n6

(ИССН)<sub>2</sub>

Он 31916

1988

13 Б1224. Инфракрасные и микроволновые исследования туннельного эффекта внутренней конверсии в димере ацетилена. Infrared and microwave investigations of interconversion tunneling in the acetylene dimer / Fraser G. T., Suenram R. D., Lovas F. J., Pine A. S., Hougen J. T., Lafferty W. J., Muenter J. S. // J. Chem. Phys.—1988.—89, № 10.—С. 6028—6045.—Англ.

Методами электрич. резонанса в молек. пучке в обл. частот 0,001—5 ГГц, микроволновой (МВ) фурье-спектроскопии с импульсным соплом в обл. частот 5—23 ГГц с точностью 4 кГц и оптотермич. ИК-спектроскопии с

Х. 1989, № 13

Молек. пучком и лазером на центрах окраски в обл. частот 3271—3283 см<sup>-1</sup> с точностью около 0,00005 см<sup>-1</sup> измерены вращат., вращательно-инверсионный и колебательно-вращат. спектры димера ацетилена, (НССН)<sub>2</sub>. В ИК-спектре измерены параллельная и перпендикулярная полосы С—Н вал. кол. Анализ РЧ-, МВ- и ИК-спектров выполнен с учетом туннельного эффекта внутр. спектров конверсии в димере. Результаты согласуются с *T*-обменной моделью димера *C<sub>2v</sub>*-симметрии с внутр. конверсией между четырьмя изоэнергетич. минимумами Н-связи. Библ. 59.

С. Н. Мурзин

$(C_2H_2)_2$

РМ 31916

1988

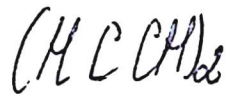
7 Л137. Изучение интерконверсионного туннелирования в димере ацетилена методами ИК- и микроволновой спектроскопии. Infrared and microwave investigations of interconversion tunneling in the acetylene dimer / Fraser G. T., Suenram R. D., Lovas F. J., Pine A. S., Hougen J. T., Lafferty W. J., Muenter J. S. // J Chem. Phys.— 1988.— 89, № 10.— С. 6028—6045.— Англ.

Получены ИК-спектры димеров ацетилена в газовой фазе с разрешением  $\sim 4$  кГц на фоне излучения перестраиваемого по частоте лазера на центрах окраски, а также микроволны. спектры этих димеров. Идентифицированы компоненты полосы валентного колебания групп C—H, которые приписаны колебаниям в димерах с симметрией  $C_{2v}$  и  $C_{2h}$ . Обсуждены различия вращательной структуры колебательных полос в спектрах димеров. Сделан вывод о возможности интерконверсионного туннелирования между 4 изоэнергетич. минимумами на потенц. кривой с величиной потенц. барьера  $\sim 33$  см $^{-1}$ . Библ. 59. И. В. А.

сф. 1989, № 7

Om. 31916

1988



CIS-DOMINGO CREEK  
Fraser G.T., Suresan R.D.  
et al.,

J. Chem. Phys., 1988,  
89, N 10, 6028-6040

Infrared and  microwave

investigations of interconversion tunneling in the acetylene dimer.

$H-^{13}C \equiv C-C=C-H^+$  OT 31920 1988

13 БП57. Геометрическая структура катиона диацетилен в электронных состояниях  $\bar{X}^2\Pi_g$  и  $\bar{A}^2\Pi_u$ . Geometric structure of diacetylene cation in the  $\bar{X}^2\Pi_g$  and  $\bar{A}^2\Pi_u$  electronic states / Lecoultre J., Maier J. P., Rösslein M. // J. chem. phys.— 1988.— 89, № 10.— С. 6081—6085.— Англ.

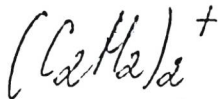
Измерена и проанализирована вращат. структура полосы  $0_0^0$  перехода  $\bar{A}^2\Pi_u - \bar{X}^2\Pi_g$  в спектре лазерного возбуждения Фл катионов диацетилен,  $H-\overset{13}{C}\equiv C-C\equiv C-H^+$  (I),  $H-C\equiv \overset{13}{C}-\overset{13}{C}\equiv C-H^+$  (II), получающихся при пеннинговой ионизации нейтр. молекул метастабильными атомами Ar. Начало полосы ( $v_0$ ), значения вращат. постоянных ( $B_0', B_0'', D_0', D_0''$ ) и параметров спин-орбитального расщепления ( $A_0'$  и  $A_0''$ ) равны (в  $\text{см}^{-1}$ ): I — 19722,625; 0,13587; 0,14245;  $2,0 \cdot 10^{-9}$ ;  $2,0 \cdot 10^{-8}$ ; —31; —33; II — 19726,861; 0,13893; 0,14573;  $2,0 \cdot 10^{-8}$ ;  $2,0 \cdot 10^{-8}$ ; —31; —33. В результате совместной обработки данных по молек. постоянным I и II и изотопомерам  $HC\equiv C-C\equiv CH$  и  $DC\equiv C-C\equiv CD$  рассчитаны параметры  $R_s$  — структуры молек. иона  $R(C-H)$ ,  $R(C\equiv C)$ ,  $R(C-C)$  (в Å): состояние

III

X. 1989, N 13

$X^2\Pi_g$  — 1,046; 1,234; 1,346; состояние  $A^2\Pi_g$  — 1,045;  
1,243; 1,410. Б. М. Ковба

Г В31  
-1



07.31.920 1988

Р. 7 Л360. Геометрическая структура катиона диацетилен в электронных состояниях  $\tilde{X}^2\Pi_g$  и  $\tilde{A}^2\Pi_u$ . Geometric structure of diacetylene cation in the  $\tilde{X}^2\Pi_g$  and  $\tilde{A}^2\Pi_u$  electronic states / Lecoultrre Jacques, Maier John P., Rösslein Matthias // J. Chem. Phys.— 1988.— 89, № 10.— С. 6081—6085.— Англ.

Получен спектр лазерного возбуждения флуоресценции катионов диацетилен в области системы полос  $\tilde{A}^2\Pi_u$ — $\tilde{X}^2\Pi_g$  с разрешением 0,04 см<sup>-1</sup>. В экспериментах применялся диацетилен, обогащенный изотопом <sup>13</sup>O. Ионизация молекул проводилась в электрич. разряде при столкновениях с метастабильными атомами аргона. Из анализа вращательной структуры полос определены геометрич. параметры катиона диацетилен в состояниях  $\tilde{A}$  и  $\tilde{X}$ , а также другие спектроскопич. константы этих состояний. Обсуждены изменения длин связей C=C, C≡C и C≡H при образовании димера и при его возбуждении. Библ. 25. Е. П. Смирнов

М.Н.

φ. 1989, № 7

( $C_2H_2$ )<sub>2</sub>

Октябрь 1988

21 Б1332. Структура и туннельное движение димера ацетилена, изученные в свободной струе при помощи инфракрасной спектроскопии поглощения в области 14 мкм. The structure and tunneling motion of acetylene dimer studied by free-jet infrared absorption spectroscopy in the 14  $\mu m$  region. Ohshima Y., Matsumoto Y., Takami M., Kuchitsu K. «Chem. Phys. Lett.», 1988, 147, № 1, 1—6 (англ.)

На лазерном спектрометре с перестраиваемым диодным лазером в обл. частот 730—750  $cm^{-1}$  с высоким разрешением измерен спектр поглощения димера ацетилена, ( $C_2H_2$ )<sub>2</sub>, при наблюдении его в импульсной сверхзвуковой струе. Анализ вращат. структуры спектра выполнен в приближении модели псевдосимм. волчка с учетом туннельного расщепления вращат. переходов в виде триплетов. Полученные результаты отнесены к димеру Т-образной конфигурации симметрии  $C_{2v}$  с расстоянием между центрами масс двух мономеров-фрагментов 4,41 Å. Триплетная структура вращат. переходов связана с внутр. вращением мономеров-фрагментов относительно Т-образной равновесной конфигурации.

С. Н. Мурзин

структура

Х. 1988, 19, № 21

1988

7 Л136. Изучение строения и туннельного движения димера ацетилена методом спектроскопии ИК-поглощения в свободной струе. The structure and tunneling motion of acetylene dimer studied by free-jet infrared absorption spectroscopy / Ohshima Yasuhiro, Matsumoto Yoshiyasu, Takami Michio, Kuchitsu Kozo // Рэдза кагаку кэнкю=Laser Sci. Prog. Rept. IPCR.—1988.— № 10.— С. 5—7.— Яп.; рез. англ.

Получены ИК-спектры поглощения молекул ацетилена (I) в расширяющейся газовой струе. В области ИК-полосы колебания  $\nu_5$  мономера I идентифицирована вращательно разрешенная ИК-полоса димера I. На основе расчета спектроскопич. постоянных показано, что димеры I стабилизированы посредством водородных связей и имеют T-образную структуру с симметрией  $C_{2v}$ . Определено расстояние между центрами масс молекул в составе димера, равное 4,41 Å. Наблюдаемая триплетная структура линий димера I приписана проявлению вращений молекул в составе димера.

И. В. А.

cf. 1989, N 7

(НССН)<sub>2</sub>

Он 31408

1988

5 Б1340. Микроволновые и инфракрасные исследования димера ацетилена *T*-образной конфигурации. Micro-wave and infrared studies of acetylene dimer in a *T*-shaped configuration / Prichard D. G., Nandi R. N., Minter J. S. // J. Chem. Phys.— 1988.— 89, № 1.— С. 15—123.— Англ.

Методом эл. резонанса в молек. пучке в обл. частот 1—700 МГц с разрешением 10 кГц и точностью 1,5 кГц и в микроволновой (МВ) обл. частот 2,4—11,3 ГГц с разрешением 30 кГц и точностью 10 кГц измерен вращат. спектр димера ацетилена, (НССН)<sub>2</sub>. Определены вращат. постоянные в МГц  $A = \cancel{44.372}$ ,  $B = 1913,2945$ ,  $C = 1798,6125$  и квартичные постоянные центробежного искажения. Дополнительно в молек. пучке с использованием перестраиваемого лазера изме-

м.н.

Х. 1989, № 5

рен и идентифицирован ИК-спектр димера в обл. ча-  
стот  $3271$ — $3274$  см $^{-1}$  с точностью  $0,001$  см $^{-1}$ . Частота  
возбужденного колебат. состояния димера равна  $\nu_0 =$   
 $= 3272,6509(4)$  см $^{-1}$ . Полученные РЧ-, МВ- и ИК-дан-  
ные отнесены к димеру *T*-образной конфигурации с рас-  
стоянием между центрами масс фрагментов  $R = 4,38$  Å  
и дипольным моментом  $\mu = 0,28$  *D*. С. Н. Мурзин

$(C_2 H_2)_2$

Om. 31408

1988

, 109: 82412s Microwave and infrared studies of acetylene dimer in a T-shaped configuration. Prichard, Diana G.; Nandi, R. N.; Muenter, J. S. (Dep. Chem., Univ. Rochester, Rochester, NY 14627 USA). *J. Chem. Phys.* 1988, 89(1), 115-23 (Eng). Radio frequency, microwave, and IR spectra were obtained from mol. beams of acetylene dimer. The geometry of the isomer studied here is T shaped, with the centers of mass of the monomers sep'd. by 4.38 Å. The equil. structure appears not to have  $C_{2v}$  symmetry and the vibrationally averaged structure has the top of the T rotated about its center of mass by 27°. The elec. dipole moment of this complex is 0.28 D.

(Mö, UK)



C.A. 1988, 109, N 10

$C_4H_4^{+}$

1989

№ 5 Б1205. Структура и энергетика  $C_4H_4^{+}$  в газовой фазе. Фотоэлектронный спектр метиленциклогепена. Structure and energetics of  $C_4H_4^{+}$  in the gas phase. Photoelectron spectrum of methylénecyclopropene / Staley S. W., Norden T. D. // J. Amer. Chem. Soc.— 1989. — 111, № 2.— С. 445—449.— Англ.

Исследован фотоэлектронный спектр метиленциклогепена (I). Адиабатич. и вертикальный Пт ионизации I равны, соотв., 8,15 и 8,14 эВ. Сопоставление с данными фотоэлектронной спектроскопии родственного I циклогепенона позволило объяснить сравнительно малые различия колебат. частот основного состояния I и его катион-радикала. В результате расчетов определены теплоты образования I<sup>•+</sup> и катион радикала циклобутадиена 281 и, соотв., 293 ккал/моль. В. И. Фаустов

X. 1990, N 5

1989

7 Б1060. Эффект Яна — Теллера второго порядка в низколежащих состояниях циклобутадиена. Исследование методом МК ССП. Second-order Jahn-Teller effect of cyclobutadiene in low-lying states. An MCSCF study / Nakatiga K., Osamura Y., Iwata S. // Chem. Phys.—1989.—136, № 1.—С. 67—77.—Англ.

Неэмпирическим многоконфигурац. методом ССП в базисе 6-31 ГФ рассчитаны основное и низколежащие возбужденные состояния цикло-бутадиена (**I**). В гармонич. приближении вычислены колебат. частоты основного  $^1B_{1g}$  и возбужденного  $^1A_{1g}$  состояний квадратной структуры **I**. Результаты проанализированы в терминах эффекта Яна — Теллера второго порядка. В основном состоянии прямоугольная структура стабильнее квадратной на 3,2 ккал/моль (с учетом вклада нулевых колебаний). Рассмотрены изменения колебат. частот при разного рода деформациях квадратной структуры **I**. Результаты сравниваются с исследованными ранее типичными ян-теллеровскими системами: катион-радикалом **I** и бзл. в возбужденном состоянии. В. И. Фаустов

X.1990, N 7

$C_4H_4$

1990

Carsky Petr, Spirkov  
Vladimir et al.

pacem

Ni;

J. Phys. Chem. 1990,  
94 (14), 5493-6.

(Cer.  $C_3H_2$ ;  $\text{III}$ )



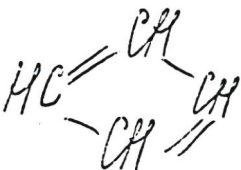
1991

115: 122733e Millimeter and submillimeter-wave spectrum of methylenecyclopropene. Bogey, Marcel; Cordonnier, Michel; Destombes, Jean Luc; Denis, Jean Marc; Guillemin, Jean Claude (Lab. Spectrosc. Hertzienne, Univ. Lille-Flandres-Artois, 59655 Villeneuve d'Ascq, Fr.). *J. Mol. Spectrosc.* 1991, 149(1), 230-4 (Eng). The rotational spectrum of methylenecyclopropene was measured in the 180-650 GHz frequency range. One hundred and forty-three new lines were assigned and a centrifugal distortion anal. is presented. The exptl. values of the centrifugal distortion consts. confirm the rigidity of this mol. related to the high ring strain.

H. A. WILSON  
CHEMIST, U.N.

C.A. 1991, 115, N 12

1991



Cryogenic  
faren

115: 142856a The A<sub>g</sub> vibrational levels of cyclobutadiene on a new potential energy surface. Carsky, Petr; Downing, John W.; Michl, Josef (Cent. Struct. React., Univ. Texas, Austin, TX 78712-1167 USA). *Int. J. Quantum Chem.* 1991, 40(3), 415-20 (Eng). GVB/[5s3p1d/3s1p] energies were calcd. for 31 geometries of cyclobutadiene in the D<sub>2h</sub> point group. These geometries differed in the values of the symmetrized internal coordinates (C., et al., 1990)  $R_1$ ,  $R_2$ , and  $R_3$  for two CC stretching and one CCH bending modes. The data points were fitted to the expansions of the potential surface in powers of  $R_1$ ,  $R_2$ , and  $R_3$ . Variational calcns. provided the following energies of the lowest A<sub>g</sub> vibrational levels (with respect to the vibrational ground state): 4.4; 1161.2; 1162.3; 1304.0; 1322.8; 1920.3; and 1991.0 cm<sup>-1</sup>.

C.A. 1991, 115, N/4

*C<sub>4</sub>H<sub>4</sub>*

*1991*

19 Б1144. Колебательные спектры бутатриена ( $C_4H_4$ ) и пентатетраена ( $C_5H_4$ ). Является ли пентатетраен изогнутым? Vibrational spectra of butatriene ( $C_4H_4$ ) and pentatetraene ( $C_5H_4$ ): Is pentatetraene bent? / Liang Congxin, Xie Yaoming, Schaefer (III) Henry F., Kim Kwang S., Kim Ho Soon // Jl. Amer. Chem. Soc.— 1991. — 113, № 7.— С. 2452—2459.— Англ.

*конфигурационно-спектральный метод*

Впервые проведены неэмпирич. расчеты структуры и колебат. спектров бутатриена ( $C_4H_4$ ) и пентатетраена ( $C_5H_4$ ) методом конфигурационного взаимодействия (КВ) с учетом одно- и двукратных возбуждений по отношению к хартри-фоковскому детерминанту. Использован двухэкспонентный базис сгруппир. гауссовых ф-ций, дополненный поляризац.  $d$ -функциями. Градиенты энергии в рамках метода КВ вычислены аналитически; силовые постоянные получены численным дифференцированием аналитич. градиентов. Подтверждено отнесение эксперим. спектра для большинства колебаний  $C_4H_4$ . Исследовано влияние расширения базиса на

(4)  
21

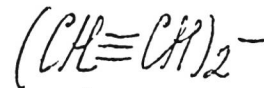
*X. 1991, N 19*

колебат. частоты. Частота деф. кол. ССС в  $C_4H_4$  и  $C_5H_4$  очень чувствительна к выбору базиса и к методу учета корреляц. эффектов. Результаты всех расчетов, за исключением расчетов с использованием теории возмущений Мёллера—Плессета 2-го порядка в трехэкспонентном базисе, предсказывают линейную конфигурацию углеродного скелета  $C_5H_4$ , однако для окончат. заключения о структуре  $C_5H_4$  необходимы дополнит. эксперим. данные.

А. А. Сафонов

00 К  
рами

1991



lejono nojaree -  
Wetherell McDon

115: 265706j Fourier-transform microwave spectroscopy of the deuterated acetylene dimers: the interconversion tunneling motions of  $(DCCD)_2$ ,  $(DCCH)_2$ , DCCD-DCCH, DCCH-DCCD, HCCH-DCCD, and HCCH-DCCH. Matsumura, K.; Lovas, F. J.; Suenram, R. D. (Mol. Phys. Div., Natl. Inst. Stand. Technol., Gaithersburg, MD 20899 USA). *J. Mol. Spectrosc.* 1991, 150(2), 576-96 (Eng). Microwave spectra of the deuterated acetylene dimers, produced in a mol. beam at 1 K from samples of HCCH, DCCH, and DCCD, were obsd. using Fourier-transform microwave spectrometer. All variations of deuterated acetylene dimers were obsd. in which a D atom participates in the H bond; i.e.,  $(DCCD)_2$ ,  $(DCCH)_2$ , DCCD-DCCH, DCCH-DCCD, HCCH-DCCD, and HCCH-DCCH. Deuterated acetylene dimers with the H atom located in the H bond could not be detected. Precise mol. consts. were detd. for each species. Among the dimers identified,  $(DCCD)_2$ ,  $(DCCH)_2$ , DCCD-DCCH, and DCCH-DCCD showed evidence of an interconversion tunneling motion like the tunneling obsd. for  $(HCCH)_2$ . The tunneling potential of  $(DCCD)_2$  was analyzed using a 1-coordinate model and the potential depth was detd. as  $V_4 = 35.577 \text{ cm}^{-1}$ , which is  $2.371 \text{ cm}^{-1}$  deeper than that of  $(HCCH)_2$  studied by G. T. Fraser et al. (1988). A 1-coordinate model was applied to the other deuterated acetylene dimers adopting a further assumption of a composite potential.

46 CREEKNS,

M.N.

C.A. 1991, 115, N 24.

(HCCH)<sub>2</sub>

1993

(2e)

118: 112135j Angular-radial coupling in the tunneling motion  
of the acetylene dimer ((HCCH)<sub>2</sub>). Suni, Ian I.; Klemperer,  
William (Dep. Chem., Harvard Univ., Cambridge, MA 02138 USA).  
*J. Chem. Phys.* 1993, 98(2), 988-97 (Eng). The torsion-rotation  
Hamiltonian is developed for the problem of two rods with a C<sub>2v</sub>  
equil. structure tunneling through a C<sub>2v</sub> saddle point, one rod  
rotating clockwise and the other counterclockwise with the two rods  
constrained to lie in a plane. The Hamiltonian is developed both for  
the case where the rod center-of-mass spacing is const. and the case  
where this spacing is an elliptical function of the torsional angle.  
The latter case is formally similar to Bunker's semirigid bender.  
Both forms of the torsion-rotation Hamiltonian are then solved for  
(HCCH)<sub>2</sub> and (DCCD)<sub>2</sub> and spectral fits obtained. The results show  
that perturbation by an excited torsional state explains some spectral  
anomalies obsd. previously. The only spectral fit that includes all  
obsd. microwave and radiofrequency transitions and gives phys.  
reasonable results is the model that allows for dependence of the  
intermol. spacing on torsional angle. The best fit for (HCCH)<sub>2</sub> yields  
an equil. C<sub>2v</sub> intermol. distance of 4.465(2) Å and an intermol.

C.A. 1993, 118, N12

distance of 4.014(10) Å at the  $C_{2h}$  saddle point. For (DCCD): intermol. spacing of 4.450(2) and 3.991(15) Å are obtained. The radial shrinkage between the two configurations agree quite well for (HCCHO<sub>2</sub>) and (DCCD)<sub>2</sub>, 0.45(1) and 0.46(1) Å, resp.

$(C_2H_2)_2$

1994

18 Б1170. Ридберговы состояния кластеров ацетилена  
 $(C_2H_2)_2$  и  $(C_2H_2)_3$ , разрешенные методом спектроскопии  
двухфотонной резонансной ионизации. Rydberg states of  
acetylene clusters  $(C_2H_2)_2$  and  $(C_2H_2)_3$  resolved by  
two-photon resonant ionization spectroscopy / Zhu Y. F.,  
Allman S. L., Phillips R. C., Garrett W. R., Chen C. H. //  
Chem. Phys. Lett. — 1994. — 224, № 1—2. — С.  
7—15. — Англ.

м.н.

X. 1995, N 18